

# КРИОСФЕРА ЗЕМЛИ

НАУЧНЫЙ ЖУРНАЛ

Криосфера Земли, 2019, т. XXIII, №3, с. 61–68

<http://www.izdatgeo.ru>

## МЕТОДЫ ИССЛЕДОВАНИЯ КРИОСФЕРЫ

УДК 550.37; 551.34; 556.3

DOI: 10.21782/KZ1560-7496-2019-3(61-68)

### ВЫЯВЛЕНИЕ УЧАСТКОВ ПОТЕНЦИАЛЬНОГО ТЕРМОСУФФОЗИОННОГО РАЗУПЛОТНЕНИЯ ГРУНТОВ ВДОЛЬ ФЕДЕРАЛЬНОЙ АВТОДОРОГИ А-360 “ЛЕНА” В ЦЕНТРАЛЬНОЙ ЯКУТИИ

Л.А. Гагарин<sup>1,2</sup>, К.И. Бажин<sup>1</sup>, В.В. Оленченко<sup>3</sup>, В.В. Огоневов<sup>1</sup>, Ву Цинбай<sup>2</sup>

<sup>1</sup>Институт мерзлотоведения имени П.И. Мельникова СО РАН,  
677010, Якутск, ул. Мерзлотная, 36, Россия; gagarinla@gmail.com

<sup>2</sup>Северо-западный институт окружающей среды и ресурсов Китайской АН, Государственная ключевая лаборатория  
инженерии мерзлых почв, 730000, Ланьчжоу, Ганьсу, В. Донгнан Роуд, 326, КНР

<sup>3</sup>Институт нефтегазовой геологии и геофизики имени А.А. Трофимука СО РАН,  
630090, Новосибирск, просп. Акад. Коптюга, 3, Россия

Приводятся результаты исследований термосуффозионных процессов с 2008 по 2017 г. По данным электрического зондирования методом электротомографии определена высокая динамичность мерзлотно-гидрогеологической обстановки в районе источника подземных вод Улахан-Тарын в Центральной Якутии. Установлено, что под действием тепла межмерзлотных подземных вод мощность перекрывающих их многолетнемерзлых пород сократилась на 4 м за четыре года. В районе федеральной автомобильной дороги А-360 “Лена” выявлено пять участков потенциального термосуффозионного разуплотнения горных пород и вероятных мест образования просадок дневной поверхности.

*Термосуффозия, межмерзлотные воды, надмерзлотные воды, талик, многолетнемерзлые породы,  
электротомография*

### REVEALING POTENTIAL THERMO-SUFFOSIONAL SOIL LOOSENING SITES ALONG A-360 LENNA FEDERAL HIGHWAY, CENTRAL YAKUTIA

Л.А. Гагарин<sup>1,2</sup>, К.И. Бажин<sup>1</sup>, В.В. Оленченко<sup>3</sup>, В.В. Огоневов<sup>1</sup>, Wu Qingbai<sup>2</sup>

<sup>1</sup>Melnikov Permafrost Institute, SB RAS, 36, Merzlotnaya str., Yakutsk, 677010, Russia; gagarinla@gmail.com

<sup>2</sup>State Key Laboratory of Frozen Soil Engineering, Northwest Institute of Eco-Environment and Resources,  
Chinese Academy of Sciences (CAS), Donggang West Road 320, Lanzhou, Gansu, China (730000)

<sup>3</sup>Trofimuk Institute of Petroleum Geology and Geophysics, SB RAS, 3, Acad. Koptuga ave., Novosibirsk, 630090, Russia

The article presents results of the studies of thermo-suffusion process development in the period from 2008 through 2017. Electrical sounding by electrical resistivity tomography revealed highly dynamic geocryological and hydrogeological conditions at the Ulakhan-Taryn groundwater spring site, Central Yakutia. It has been established that the permafrost thickness degraded by 4 m in a 4-year period above the intra-permafrost ground water due to heat effects. Five sites of thermal-suffosional soil loosening and potential surface subsidence were identified along the Lena Highway.

*Thermo-suffusion, intrapermafrost water, suprapermanafrost water, talik, permafrost, electrical resistivity  
tomography*

### ВВЕДЕНИЕ

Метод электротомографии успешно применяется для изучения мерзлотно-гидрогеологических условий и строения таликов [Fortier et al., 2016; Lorenson et al., 2016; You et al., 2017]. Высокая информативность метода для решения задач подобного типа связана с четкой контрастностью мерзлых и талых пород по удельному электрическому сопротивлению (УЭС) [Hauck et al., 2008]. Электротомография также хорошо зарекомендовала себя при исследовании термосуффозионных процессов на бестяхской террасе р. Лены в Центральной Якутии [Оленченко и др., 2017]. Их деятельность

связана с выносом межмерзлотными подземными водами песчаного материала и последующего формирования на дневной поверхности провальных форм рельефа [Ефимов, 1952; Шепелев, 1972; Гагарин и др., 2016]. Большое количество свежих провальных термосуффозионных воронок образовалось в районе руч. Улахан-Тарын, к которому приурочены круглогодично действующие источники подземных вод. В 500 м к юго-востоку от участка проявления термосуффозионного процесса расположена федеральная автомобильная дорога (ФАД) А-360 “Лена” (1102–1103-й километр),

© Л.А. Гагарин, К.И. Бажин, В.В. Оленченко, В.В. Огоневов, Ву Цинбай, 2019

единственная наземная транспортная артерия, соединяющая столицу Республики Саха (Якутия) Якутск с остальной частью России.

В течение 2013–2015 гг. в районе руч. Улахан-Тарын участок этой дороги находился на стадии реконструкции. Ранее существовавшая грунтовая дорога была перестроена в дорогу с асфальтным покрытием, а мостовой переход через ручей переделан в насыпь с водопропускной трубой. Реконструкция сопровождалась большим объемом земляных работ с рытьем котлована в долине ручья, в результате дно котлована было углублено на 3 м. От инженеров-строителей, работавших на этом участке трассы, авторы узнали, что им не известно о существовании неподалеку крупных родников и провальных форм рельефа.

Подобное углubление дна долины ручья Улахан-Тарын могло стать причиной появления очага разгрузки напорных межмерзлотных подземных вод и, соответственно, инициализации термосуффозионного процесса. В результате внезапное и прогрессирующее развитие термосуффозионных

воронок на дневной поверхности привело бы к частичному или полному разрушению дороги.

В связи с вышеизложенным целью настоящего исследования была оценка мест потенциального образования термосуффозионных провалов вдоль ФАД А-360 “Лена” на 1102–1103-м километре.

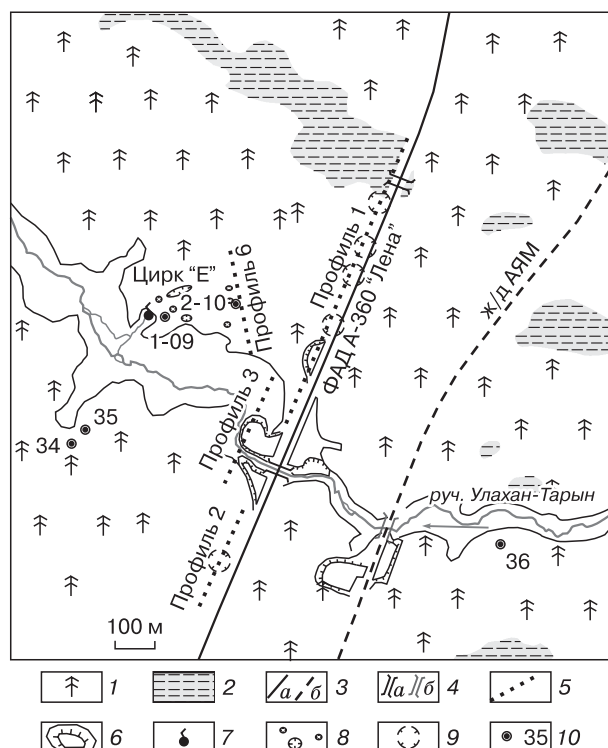
## ХАРАКТЕРИСТИКА ИССЛЕДУЕМОГО УЧАСТКА

Участок исследований расположен в 54 км к северу от пос. Нижний Бестях, а на противоположном берегу р. Лены от последнего – г. Якутск.

Изучаемые термосуффозионные процессы проявляются в пределах IV надпойменной террасы р. Лены, сложенной преимущественно средне-неоплейстоценовыми песками с гравийно-галечниковым слоем в основании [Камалетдинов, 1982; Иванов, 1984]. Цоколь террасы сложен выветрелыми, трещиноватыми нижнекембрийскими известняками.

В районе источника подземных вод Улахан-Тарын в разное время было пробурено множество гидрогеологических и геотермических скважин глубиной от 12 до 520 м (рис. 1). Верхняя часть разреза до глубины 45 м представлена мелковернистым песком с коэффициентом неоднородности 1.7–2.0, а ниже – среднезернистым с таким же коэффициентом неоднородности [Гагарин и др., 2016].

Толщина многолетнемерзлых пород (ММП) в пределах террасы изменяется от 200 до 400 м [Иванов, 1984]. Их температура на глубине нулевых годовых колебаний составляет  $-0.2\ldots-0.5^{\circ}\text{C}$ , понижаясь в долине руч. Улахан-Тарын до  $-2.5^{\circ}\text{C}$ . Особенностью строения бестяхской террасы р. Лены является широкое развитие водоносных межмерзлотных таликов, кровля которых залегает на глубинах от 16 до 27 м. Питание их осуществляется через радиационно-тепловые и подздерные (сквозные и несквозные) талики. Разгрузка подземных вод происходит в долинах ручьев и речек, прорезающих бестяхскую террасу р. Лены, а также в некоторые озера. По условиям питания и циркуляции подземные воды относятся к надмерзлотно-межмерзлотным [Ефимов, 1952]. Наиболее крупнодебитный источник подземных вод приурочен к долине руч. Улахан-Тарын. Эти родники условно разделены на пять групп (цирков) – А, В, С, Д, Е. Температура подземных вод на выходе на дневную поверхность в течение года постоянная и составляет  $0.2^{\circ}\text{C}$ . Воды – гидрокарбонатные кальциево-магниевые с минерализацией около 200 мг/л, причем по сезонам года минерализация меняется [Павлова и др., 2016]. Межмерзлотные подземные воды – напорные. Например, в области их разгрузки пьезометрический уровень достигает 9 м [Гагарин и др., 2016].



**Рис. 1. Схема расположения геофизических профилей в районе перехода ФАД А-360 “Лена” через руч. Улахан-Тарын (1104–1105-й километр).**

1 – лес; 2 – заболоченное понижение; 3 – федеральная автомобильная дорога А-360 “Лена” (а) и Амуро-Якутская железная дорога (б); 4 – водопропускная труба (а) и мост (б); 5 – геофизический профиль; 6 – источник подземных вод; 7 – термосуффозионная воронка; 8 – место потенциального развития термосуффозионной воронки; 9 – скважина и ее номер.

## ВЫЯВЛЕНИЕ УЧАСТКОВ ПОТЕНЦИАЛЬНОГО ТЕРМОСУФФОЗИОННОГО РАЗУПЛОТНЕНИЯ ГРУНТОВ

Подземными водами выносится большое количество песчаного материала, слагающего межмерзлотный водоносный горизонт и его мерзлую кровлю. В склоне бестяхской террасы р. Лены над родником нередко наблюдаются пещеры, а на ее поверхности – провальные воронки, поноры и овраги [Толстухин, 1941; Ефимов, 1952; Шепелев, 1972; Гагарин и др., 2016]. Скорости образования провалов весьма высоки. Так, максимальное ежегодное приращение объема термосуффозионных просадок в районе цирка “Е” источника Улахан-Тарын достигало 3500 м<sup>3</sup> [Гагарин и др., 2016]. Провальные воронки на этом участке развиваются в глубь террасы в северо-восточном направлении (см. рис. 1). Самая дальняя просадка рельефа зафиксирована на расстоянии 300 м от родника. Следует отметить, что еще через 500 м в том же направлении расположена ФАД А-360 “Лена”.

### МЕТОДИКА ГЕОФИЗИЧЕСКИХ ИССЛЕДОВАНИЙ

Для того чтобы определить место потенциального провала, необходимо знать геометрию межмерзлотного водоносного горизонта. Опыт наших исследований показал, что эта задача эффективно решается методом электротомографии [Оленченко и др., 2017]. В настоящей работе также применялась технология электротомографии в профильном варианте.

Для измерений использовалась 64-электродная многоканальная станция “Скала-64” (ООО “КБ Электрометрии”, г. Новосибирск). Последовательность подключения электродов соответствовала симметричной установке Шлюмберже. Глубина электрического зондирования достигала 80 м. Измерения проведены по четырем профилям длиной от 315 до 780 м с шагом между электродами 5 м. Обработка результатов зондирования осуществлялась в программах Res2DInv и ZonRes2D [Бобачев, Горбунов, 2005].

На рис. 1 приведена схема расположения профилей. Профиль 1 находится на 1103-м километре ФАД А-360 “Лена” и протягивается вдоль дорожной насыпи до правого берега руч. Улахан-Тарын. Профиль 2 пролегает вдоль дорожной насыпи на 1102 км от левого берега руч. Улахан-Тарын. Профиль 3 пересекает долину руч. Улахан-Тарын и находится в 30 м выше по течению в пределах искусственно созданной насыпи. Профиль 6 был заложен еще в 2014 г. вкрест простирания направления развития термосуффозионных воронок в цирке “Е” [Оленченко и др., 2017]. Измерения по этому профилю проводились в 2015, 2016 и 2017 гг. (первые два года в начале лета, а последний год – в конце лета). В 20 м к западу от профиля 6 находится гидрогеологическая скважина № 2-10, которая в 2014 г. на глубине 16 м вскрыла межмерзлотный талик.

### РЕЗУЛЬТАТЫ ИССЛЕДОВАНИЙ

Интерпретация геоэлектрических разрезов была основана на априорных данных о межмерзлотно-гидрогеологическом строении исследуемого участка, полученных по результатам бурения гидрогеологических скважин [Оленченко и др., 2017].

В 2015 г. было установлено, что по профилю 6 (рис. 2) в верхней части разреза выделяются деятельный слой и слой многолетнемерзлых песков до глубины 15–25 м (диапазон УЭС 1000–5000 Ом·м), ниже – водоносный межмерзлотный талик (УЭС 80–230 Ом·м). С глубины 60–70 м его подстилают местами талые водонасыщенные, местами промороженные среднекембрийские известняки (УЭС 200–5600 Ом·м). В межмерзлотном талике выделяются четыре локальных аномалии пониженного УЭС, интерпретируемые как каналы фильтрации.

Природа аномалий пониженных значений УЭС, связанных с каналами фильтрации подземных вод, дискуссионна. С одной стороны, лучшими коллекторскими и фильтрационными свойствами обладают хорошо промытые отсортированные пески крупной фракции, которые имеют повышенное сопротивление среди рыхлых пясмитов. С другой стороны, авторы отмечают термосуффозионное провалообразование над линейными аномалиями пониженного УЭС, а провалы образуются именно над зонами фильтрации подземных вод. Возможно, причиной пониженного УЭС в зонах развития термосуффозионных воронок является изменение структуры порового пространства в процессе термосуффозии. Предположим, что в состоянии покоя обводненный песчаный массив характеризуется одним достаточно высоким коэффициентом извилистости пор. При термосуффозии происходит вынос частиц песка и образование сквозных каналов фильтрации воды, по которым протекает электрический ток. Это приводит к уменьшению коэффициента извилистости пор в формуле Арчи и снижению значений УЭС породы. В работе [Алияров, Рамазанов, 2010] показано, что с ростом водонасыщенности песков отмечается уменьшение извилистости пор, что, по мнению авторов, вполне логично, поскольку с увеличением водонасыщенности происходит упрощение токопроводящих областей поровых каналов. Однако пески межмерзлотного горизонта бестяхской террасы р. Лены, по данным бурения, находятся в обводненном состоянии. Следовательно, на структуру пор и уменьшение извилистости может повлиять только процесс выноса частиц в каналах фильтрации.

Повторные измерения в 2016 г. на участке профиля, не затрагивающем пойму руч. Улахан-Тарын, показали измененную картину распределения УЭС (см. рис. 2). На пикетах профиля 345–395 м с 2015 по 2016 г. отмечается деградация

ММП снизу, что отражено в сокращении толщины слоя УЭС в диапазоне 1000–3400 Ом·м с 23 до 19 м. Глубина залегания подошвы многолетней мерзлоты сократилась на 4 м. По-видимому, этому способствовал непрерывный в течение указанного промежутка времени теплообмен между мерзлой кровлей водоносного горизонта и фильтрационным потоком. Согласно рис. 2, распределение УЭС по горизонтали в диапазоне глубин 15–60 м с 2015 по 2017 г. меняется значительно. Интерпретируемые фильтрационные потоки, имеющие значения УЭС до 230 Ом·м, меняют местоположение в пространстве, что свидетельствует о миграции путей движения подземных вод. При этом в 2015 и 2016 гг. в пределах рассматриваемого отрезка профиля, в проекции на дневную поверхность, наблюдалось активное развитие термосуффозионных воронок.

В 2017 г. положение многолетнемерзлых пород можно считать относительно стабильным. Разница в залегании подошвы мерзлоты на геоэлектрических профилях 2016 и 2017 гг. находится в пределах погрешности измерений и не превыша-

ет 2 м (см. рис. 2). Однако в межмерзлотном водоносном горизонте отмечается повышение УЭС и отсутствие ярко выраженных низких его значений по сравнению с 2016 г. Авторы интерпретируют это повышение УЭС как снижение интенсивности потока, инициирующего термосуффозию. Необходимо отметить, что в 2016 и 2017 гг. на этом участке профиля не наблюдалось термосуффозионных просадок земной поверхности. Следовательно, фильтрационный размыв горных пород в указанный период времени либо прекратился, либо временно снизилась его интенсивность.

Ранее проведенные исследования показали, что УЭС таликов с разной степенью увлажненности в песках бестяхской террасы р. Лены находятся в диапазоне 80–1000 Ом·м [Оленченко и др., 2017]. Фильтрационные потоки в межмерзлотном горизонте, инициирующие термосуффозию, на геоэлектрическом разрезе выделяются низкими УЭС (до 400 Ом·м). Термосуффозионные провалы приурочены к зонам наименьшей мощности ММП, под которыми сконцентрированы фильтрационные потоки (УЭС 80–400 Ом·м). Эти кри-

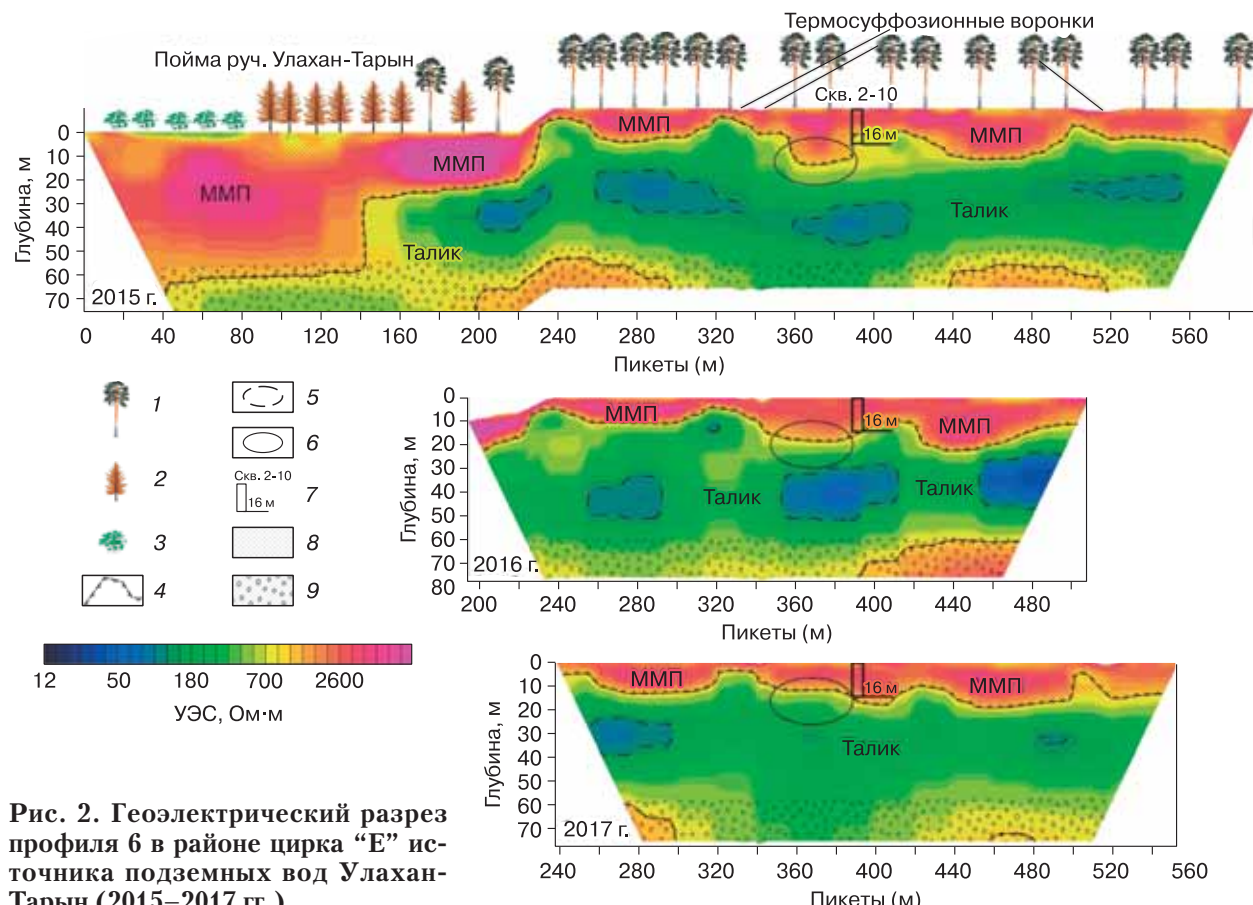


Рис. 2. Геоэлектрический разрез профиля 6 в районе цирка "Е" источника подземных вод Улахан-Тарын (2015–2017 гг.).

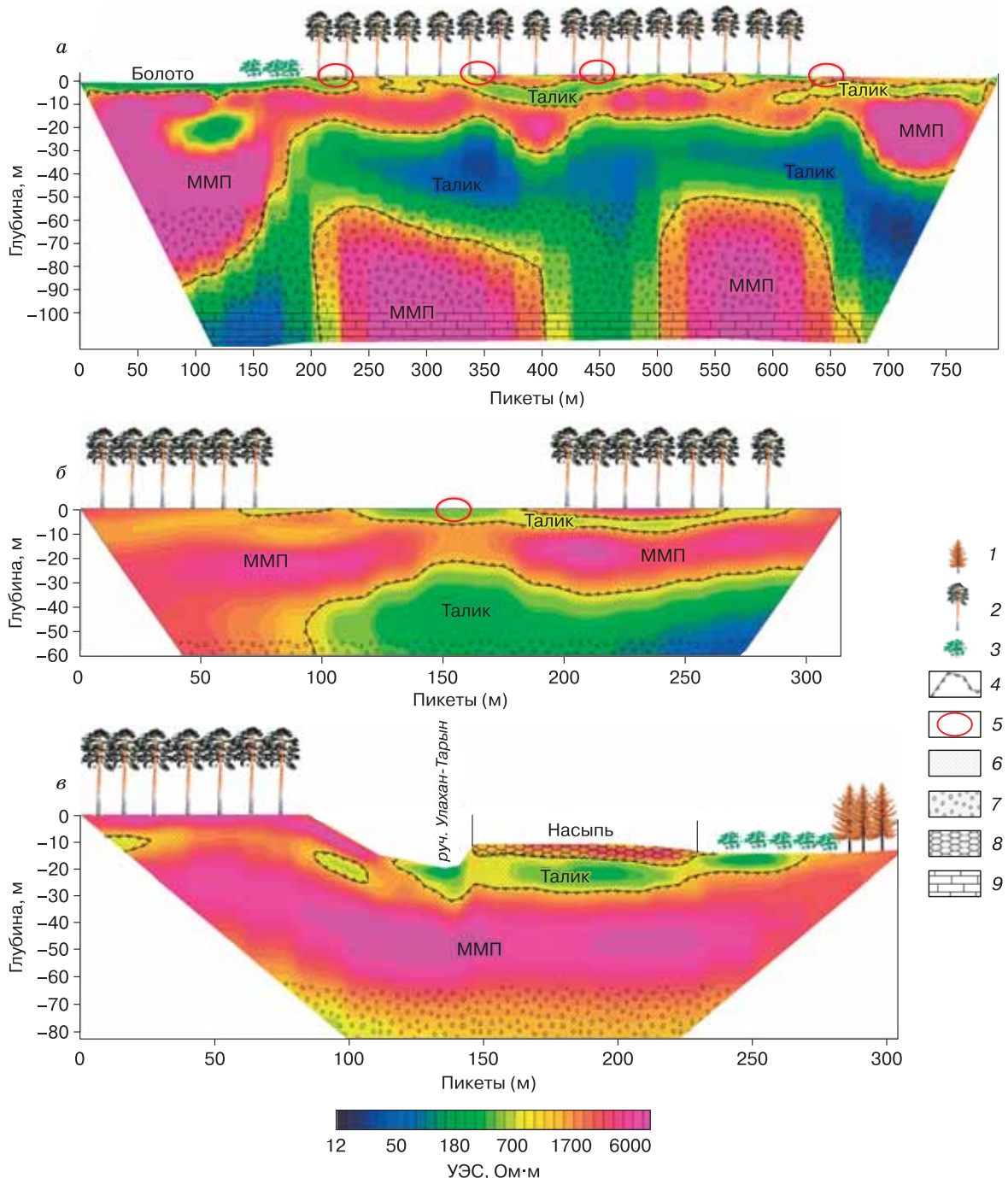
1 – сосна; 2 – лиственница; 3 – кустарник; 4 – граница многолетнемерзлых пород; 5 – каналы фильтрации подземных вод; 6 – зона деградации ММП; 7 – скважина (вверху – ее номер, внизу – глубина); 8 – песок; 9 – гравийно-галечниковый слой с песчаным заполнителем.

## ВЫЯВЛЕНИЕ УЧАСТКОВ ПОТЕНЦИАЛЬНОГО ТЕРМОСУФФОЗИОННОГО РАЗУПЛОТНЕНИЯ ГРУНТОВ

терии были использованы для выявления зон потенциального термосуффозионного разуплотнения горных пород вдоль ФАД А-360 “Лена”.

Профиль 1 расположен вкрест простирания зоны транзита межмерзлотного водоносного горизонта и приурочен к подножию автодорожной на-

сыпи (см. рис. 1). Электротомография по этому профилю проведена в первых числах октября 2017 г. на момент максимального протаивания грунтов (3.5–4.0 м) и начала зимнего их промерзания. В верхней части геоэлектрического разреза с глубины 1.5–2 до 7–12 м (рис. 3, а) на пике-



**Рис. 3. Геоэлектрический разрез вдоль трассы ФАД А-360 “Лена” по профилям 1 (а), 2 (б) и 3 (в).**

1 – лиственница; 2 – сосна; 3 – кустарник; 4 – граница ММП; 5 – участок потенциального развития термосуффозионного провала; 6 – песок; 7 – гравийно-галечниковый слой с песчаным заполнителем; 8 – песок с примесью дресвы, щебня; 9 – известняк.

так 250–780 м выделяется зона низких УЭС (400–800 Ом·м), интерпретируемая как субаэральная талая зона. Подобные талики могут образовываться на бестяхской террасе р. Лены в современных климатических условиях [Шендер и др., 1996; Мониторинг..., 2002; Гагарин, 2015]. Высокие значения УЭС (до 3600 Ом·м) на пикетах профиля 350–500 м до глубины 3–5 м (см. рис. 3, а) связаны не только с сезонным промерзанием горных пород, но и с крупнообломочными техногенными отложениями (щебень карбонатных пород) в верхней части геологического разреза, залегающими в основании полотна автодороги.

На пикетах профиля 1 от 0 до 200 м с поверхности до глубины 4.5 м выделена низкоомная (до 160 Ом·м) талая область (см. рис. 3, а). Она расположена в локальной болотной котловине, поэтому ниже по разрезу высоким УЭС выделяются льдонасыщенные низкотемпературные многолетнемерзлые породы (УЭС 2000–80 000 Ом·м). На отрезке профиля 100–150 м на глубинах 13–29 м локальная аномалия низкого УЭС (120–700 Ом·м) вызвана влиянием металлической водопропускной трубы в теле дорожной насыпи (см. рис. 3, а).

В пределах выровненной поверхности террасы (отрезок профиля 200–680 м) высокотемпературные многолетнемерзлые породы (УЭС 1000–5000 Ом·м) залегают до глубины в среднем 24 м (см. рис. 3, а). На пикетах 200–240, 320–370, 420–460 и 625–670 м эта глубина сокращается до 12–16 м. С пикета 680 м значения УЭС увеличиваются до 8000–90 000 Ом·м вплоть до глубины 42 м, что, вероятно, связано с наличием ММП вблизи склона долины ручья.

Межмерзлотный водоносный горизонт на геоэлектрическом разрезе расположен в пределах пикетов 200–750 м (см. рис. 3, а), его УЭС изменяется в диапазоне 25–400 Ом·м. Положение его кровли и подошвы на всем протяжении не постоянно. Наиболее низкие значения УЭС (25–60 Ом·м) отмечаются в зонах суффозионного переноса вещества фильтрационным потоком в поровом пространстве. Однако не над каждой аномалией низкого УЭС отмечается уменьшение мощности мерзлой толщи. Скорее всего, из года в год пути фильтрации могут меняться. Там, где мерзлота имеет наименьшую мощность, подземные воды оказывали длительное воздействие. Описываемое явление можно проследить в пределах пикетов 200–250, 330–370, 430–470 и 620–670 м (см. рис. 3, а). Наиболее тонкий слой ММП расположен над зоной наиболее низкого УЭС (до 70 Ом·м). С учетом того, что над указанными зонами расположены субаэральные надмерзлотные талики мощностью до 10 м, прочность кровли межмерзлотного водоносного горизонта здесь наиболее низкая по сравнению с сопредельной терри-

торией. Поэтому авторы считают, что на данных интервалах профиля 1 наиболее вероятны термо-суффозионные просадки дневной поверхности.

В основании геоэлектрического разреза профиля 1, с глубины 60 м и ниже (см. рис. 3, а), отмечено чередование низкоомных (УЭС 40–700 Ом·м) и высокоомных (1300–20 000 Ом·м) участков. Они интерпретируются как талые и мерзлые породы. По данным разреза скв. 36 (см. рис. 1), с глубины 100 м разрез представлен выветрелыми известняками. Вероятно, эти коренные породы в трещинах выветривания могут содержать как лед, так и глинистые частицы с водой в жидкой фазе. Этим авторы объясняют значительный диапазон УЭС (40–20 000 Ом·м). Важно отметить, что с увеличением глубины чувствительность измерительной установки снижается, это приводит к неоднозначному решению обратной задачи. Поэтому интерпретацию данных участков на геоэлектрическом разрезе, расположенных ниже выделяемого межмерзлотного талого слоя, можно считать условной.

Профиль 2 также расположен вкрест простирации зоны транзита межмерзлотного водоносного горизонта (см. рис. 1). В отличие от профиля 1, профиль 2 находился в 15 м от автодорожной насыпи и пролегал от левого берега руч. Улахан-Тарын через сосновый лес, пересекая локальное понижение рельефа, поверхность которого ровная и покрыта луговой растительностью. В верхней части разреза на пикетах 110–290 м (см. рис. 3, б) до глубины 5–10 м выделяется зона УЭС от 400 до 770 Ом·м, интерпретируемая авторами как субаэральная талая зона. К началу октября, когда производились измерения, деятельный слой на бестяхской террасе р. Лены успевает промерзнуть на 1.5–2.0 м [Гагарин, 2015]. Предзимняя влажность песков этого слоя по всей его мощности не более 5–6 % [Шендер и др., 1996]. Первое обстоятельство показывает, что существующая на тот момент толщина промерзающего сезонноталого слоя не определяется по данным электротомографии, так как расстояние между электродами было много больше этой величины и составляло 5 м. Второе обстоятельство не позволяет отличить сухие талые пески от высокотемпературных мерзлых [Бобачев, Горбунов, 2005]. Поэтому на геоэлектрическом разрезе промерзающий деятельный слой не выделяется.

Многолетнемерзлые породы на профиле 2 (см. рис. 3, б) характеризуются значениями УЭС в диапазоне 1000–9000 Ом·м, причем на пикетах 0–100 м глубинность зондирования не позволила определить их подошву. На участках развития межмерзлотного водоносного горизонта (УЭС 40–400 Ом·м), в пределах пикетов 100–325 м, мощность мерзлоты не превышает 34 м. Важно отметить, что под локальным понижением в рельефе

## ВЫЯВЛЕНИЕ УЧАСТКОВ ПОТЕНЦИАЛЬНОГО ТЕРМОСУФФОЗИОННОГО РАЗУПЛОТНЕНИЯ ГРУНТОВ

на интервале профиля 110–180 м наблюдается наиболее тонкий (15 м) слой ММП и высокие значения УЭС (1350–2200 Ом·м) по сравнению со смежными участками (см. рис. 3, б). Вероятно, субаэральный талик существует здесь не один год и его отопляющее влияние на нижележащие многолетнемерзлые горные породы сказывается в уменьшении их мощности. Именно на этом отрезке профиля 2 вероятно образование термосуффозионного провала.

Электротомография по профилю 3 была сделана для выяснения влияния искусственной насыпи (пикеты 140–230 м) на геокриологическую обстановку в долине руч. Улахан-Тарын (см. рис. 1, 3). Эта насыпь представлена обломками карбонатных пород различной фракции с песчаным заполнителем, видимой мощностью 6–7 м. По данным электрозондирования, толщина отсыпки изменяется от 5 до 7–8 м, а значения УЭС здесь составляют 1200–4000 Ом·м. Анализ геоэлектрического разреза показал, что в русле руч. Улахан-Тарын существует несквозной талик мощностью до 12 м (см. рис. 3, в), он выражается на разрезе с диапазоном УЭС от 170 до 1000 Ом·м на интервале профиля 120–140 м. На отрезке профиля 230–270 м отмечен заболоченный участок с кочкарником (см. рис. 3, в). Под этим участком фиксируются низкие значения УЭС (200–1000 Ом·м), как и под руслом ручья на отрезке профиля 120–140 м. Мощность талой области под болотом достигает 5–7 м. Оба участка соединяются в единую таликовую зону через захороненный искусственной насыпью талик толщиной 10–12 м с аналогичными значениями УЭС (см. рис. 3, в).

На левом берегу естественного сложения талые области отмечены отдельными линзами низкого УЭС (680–1000 Ом·м) на пикетах 0–25 и 90–105 м (см. рис. 3, в). Мощность этих линз составляет 5–7 м. Талики соединяются слоем с УЭС 1000–2000 Ом·м, характерным для многолетнемерзлых песков бестяхской террасы р. Лены, но значительно контрастирующим с выше и ниже залегающими слоями более высоких значений УЭС (3500–9000 Ом·м). Причем этот слой повторяет очертания рельефа и соединяется с долинным таликом. Вероятно, здесь в настоящее время промерзает субаэральный талик, что выражается в повышении УЭС разреза. Данное предположение подтверждается ландшафтными условиями на дневной поверхности, где произрастает зрелый густой сосновый лес с единичными лиственничными деревьями.

Нижняя часть профиля 3 представлена промороженными песками (УЭС 2700–9000 Ом·м) и мерзлыми скальными породами (1000–2000 Ом·м), возможно, водонасыщенными талыми (УЭС 600–1000 Ом·м) на отрезке профиля 100–150 м (см. рис. 3, в).

## ВЫВОДЫ

Мониторинг изменения УЭС пород от года к году позволил проследить высокую динамичность мерзлотно-гидрогеологической обстановки на площади развития термосуффозионных процессов.

Установлено, что под воздействием межмерзлотного фильтрационного потока мощность верхнего слоя ММП за 4 года уменьшилась на 4 м (см. рис. 2).

На основе анализа геоэлектрических разрезов, полученных в разные годы, показано, что пути фильтрации межмерзлотных подземных вод не постоянны. Это выражается в увеличении или уменьшении УЭС локальных участков опорного слоя с пониженным до 400 Ом·м электросопротивлением. Рассматриваемый слой интерпретируется как водоносный межмерзлотный талик.

Вероятной причиной понижения УЭС пород в зонах фильтрации подземных вод является уменьшение извилистости пор в песке вследствие термосуффозионных процессов. Коэффициент извилистости пор влияет на значение УЭС в формуле Арчи, описывающей связь электросопротивления, пористости и структуры порового пространства.

По геофизическим данным, в верхней части разреза до глубины 10 м установлено существование надмерзлотных субаэральных таликов, которые потенциально могут иметь гидравлическую связь с межмерзлотным водоносным горизонтом.

По данным электротомографии выявлено пять областей возможного появления просадок поверхности (см. рис. 3, а, б). Как правило, в таких зонах наблюдается наименьшая мощность многолетнемерзлых пород, под ними в межмерзлотном водоносном горизонте отмечаются наиболее низкие значения УЭС (20–200 Ом·м), а с поверхности развит субаэральный талик.

В районе 1103-го километра ФАД А-360 “Лена” под крупной искусственно созданной площадкой зафиксировано существование погребенного талика, гидравлически связанного с подрусловым и пойменным таликами руч. Улахан-Тарын. Это одна из потенциально возможных зон развития термосуффозии.

*Работа выполнена при финансовой поддержке РФФИ (проект № 15-45-05053-р\_восток\_a), гранта Open Fund Project of SKLFSE (No. SKLFSE201701).*

## Литература

- Алияров Р.Ю., Рамазанов Р.А. Изменение электрического сопротивления пластов-коллекторов в процессе разработки залежей нефти и газа // Каротажник, 2010, № 3, с. 78–90.  
Бобачев А.А., Горбунов А.А. Двумерная электроразведка методом сопротивлений и вызванной поляризации: аппара-

- тура, методики, программное обеспечение // Разведка и охрана недр, 2005, № 12, с. 52–54.
- Гагарин Л.А.** Оценка современных условий формирования субаэальных таликов в Центральной Якутии // Материалы XXI Всерос. совещания по подземным водам Сибири и Дальнего Востока. Якутск, ИМЗ СО РАН, 2015, с. 76–80.
- Гагарин Л.А., Семерня А.А., Лебедева Л.С.** Оценка термосуффозионных процессов в Центральной Якутии на примере участка Улахан-Тарын // Геоэкология, инж. геология, гидрогеология, геокриология, 2016, № 3, с. 252–262.
- Ефимов А.И.** Незамерзающий пресный источник Улахан-Тарын в Центральной Якутии // Исследование вечной мерзлоты в Якутской республике. М., Изд-во АН СССР, 1952, № 3, с. 60–105.
- Иванов М.С.** Криогенное строение четвертичных отложений Лено-Алданской впадины. Новосибирск, Наука, 1984, 126 с.
- Камалетдинов В.А.** Рельеф цоколя и строение четвертичного покрова Лено-Амгинского междуречья // Геология кайнозоя Якутии. Якутск, ЯФ СО АН СССР, 1982, с. 94–103.
- Мониторинг подземных вод криолитозоны / Шепелёв В.В., Бойцов А.В., Оберман Н.Г. и др.** Якутск, ИМЗ СО РАН, 2002, 172 с.
- Оленченко В.В., Гагарин Л.А., Христофоров И.И. и др.** Строение участка развития термосуффозионных процессов в пределах бестяхской террасы реки Лены по геофизическим данным // Криосфера Земли, 2017, т. XXI, № 5, с. 16–26.
- Павлова Н.А., Колесников А.Б., Ефремов В.С., Шепелёв В.В.** Химический состав подземных вод межмерзлотных таликов в Центральной Якутии // Вод. ресурсы, 2016, т. 43, № 2, с. 216–227.
- Толстикhin Н.И.** Подземные воды мерзлой зоны литосферы. М., Госгеотехиздат, 1941, 201 с.
- Шендер Н.И., Бойцов А.В., Тетельбаум А.С.** Формирование таликов и высокотемпературных мерзлых пород в условиях Центральной Якутии // Материалы Первой конф. геокриологов России. М., МГУ, 1996, кн. 1, с. 529–537.
- Шепелёв В.В.** Оценка эрозионно-суффозионной деятельности источников Центральной Якутии // Изв. вузов. Геология и разведка, 1972, № 9, с. 88–92.
- Fortier R., Lemieux J.M., Molson J.W.H. et al.** Geophysical investigation and monitoring of thermo-hydraulic conditions of closed talik and icing of the Kuuguluk River at Salluit, northern Quebec, Canada // AGU Fall Meeting Abstracts, San Francisco, USA, 2016, NS23B-02.
- Hauck C., Kneisel C.** Applied geophysics in periglacial environments. Cambridge, Cambridge University Press, 2008, 238 p.
- Lorenson T.D., Swarzenski P.W., Conaway C.H. et al.** Extensive cryopegs on Barter Island, North Slope, Alaska // AGU Fall Meeting Abstracts, San Francisco, USA, 2016, GC31H-1199.
- You Y., Yu Q., Pan X. et al.** Geophysical imaging of permafrost and talik configuration beneath a thermokarst lake // Permafrost and Periglacial Processes, 2017, vol. 28 (2), p. 470–476.
- logy, software. Razvedka i Ohrana Nedr [Exploration and Protection of Resources], 2005, No. 12, p. 52–54 (in Russian).
- Gagarin L.A. Assessment of recent conditions for development of subaerial talik in Central Yakutia. In: Proc. of the XXI All-Russian Conference on groundwater in Siberia and Far East, Yakutsk, IMZ SO RAN, 2015, p. 76–80.
- Gagarin L.A., Semernya A.A., Lebedeva L.S. Assessment of thermal suffusion in Central Yakutia by the example of Ulakhatarin site. Geocologia, Inzhenernaya Geologia, Gidrologia, Geokriologiya [Geocology, Engineering Geology, Hydrogeology, Geocryology], 2016, No. 3, p. 252–262 (in Russian).
- Efimov A.I. Non-freezing fresh spring Ulanakh-Taryn in Central Yakutia. In: Permafrost Investigation in Yakutia Republic. Moscow, Izd-vo AN SSSR, 1952, No. 3, p. 60–105 (in Russian).
- Ivanov M.S. Kriogennoe stroenie chetvertichnukh otlozhenii Leno-Aldanskoi vpadiny [Cryogenic Structure of Quaternary Deposits in the Lena-Aldan Depression]. Novosibirsk, Nauka, 1998, 126 p. (in Russian).
- Kamaletdinov V.A. The structure and pedestal relief of the cover of Quaternary sediments in the Lena-Amgin interfluvia area. In: Cenozoic Geology of Yakutia. Yakutsk, YaF SO AN SSSR, 1982, p. 94–103.
- Shepelev V.V., Boitsov A.V., Oberman N.G. et al. Monitoring podzemnykh vod kriolitozony [Monitoring of Groundwaters of Permafrost Zone]. Yakutsk, IMZ SO RAN, 2002, 172 p. (in Russian).
- Olenchenko V.V., Gagarin L.A., Khristoforov I.I., Kolesnikov A.B., Efremov V.S. The structure of a site with thermo-suffusion processes within Bestyakh terrace of the Lena River, according to geophysical data. Earth's Cryosphere, 2017, vol. XXI, No. 5, p. 14–23.
- Pavlova N.A., Kolesnikov A.B., Efremov V.S., Shepelev V.V. Groundwater chemistry in intrapermafrost taliks in Central Yakutia. Vodnye Resursy [Water Resources], 2016, vol. 43, No. 2, p. 353–363 (in Russian).
- Tolstikhin N.I. Podzemnye vody merzloj zony litosfery [Ground water of the frozen zone of the lithosphere]. Moscow, Gosgeotekhizdat, 1941, 201 p. (in Russian).
- Shender N.I., Boitsov A.V., Tetelbaum A.S. Formation of taliks and high-temperature frozen rocks in Central Yakutia. In: Proceeding of the First Conference of Geocryologists. Moscow, MSU, 1996, vol. 3, p. 290–297 (in Russian).
- Shepelev V.V. Assessment of erosion and suffusion processes of springs in Central Yakutia. Izvestia vuzov. Geologija i Razvedka [Letters of High School: Geology and Exploration], 1972, No. 9, p. 88–92 (in Russian).
- Fortier R., Lemieux J.M., Molson J.W.H. et al. Geophysical investigation and monitoring of thermo-hydraulic conditions of closed talik and icing of the Kuuguluk River at Salluit, northern Quebec, Canada. AGU Fall Meeting Abstracts, San Francisco, USA, 2016, NS23B-02.
- Hauck C., Kneisel C. Applied geophysics in periglacial environments. Cambridge, Cambridge University Press, 2008, vol. 240, 238 p.
- Lorenson T.D., Swarzenski P.W., Conaway C.H. et al. Extensive cryopegs on Barter Island, North Slope, Alaska. AGU Fall Meeting Abstracts, San Francisco, USA, 2016, GC31H-1199.
- You Y., Yu Q., Pan X. et al. Geophysical imaging of permafrost and talik configuration beneath a thermokarst lake. Permafrost and Periglacial Processes, 2017, vol. 28 (2), p. 470–476.

## References

- Aliyarov R.Yu., Ramazanov R.A. Changes in the reservoir bed resistivity while developing the oil and gas pools. Karotazhnik [Well Logger], 2010, No. 3, p. 78–90 (in Russian).
- Bobachev A.A., Gorbunov A.A. 2D geoelectrical prospecting by resistivity and induced polarization technique: tools, methodo-

Поступила в редакцию 16 апреля 2018 г.,  
после доработки – 4 декабря 2018 г.,  
принята к публикации 14 декабря 2018 г.